

01;05;07

©1994 г.

# СУЩЕСТВОВАНИЕ ГОМОКЛИНИЧЕСКОЙ ТРАЕКТОРИИ В МОДЕЛИ СВЯЗАННОЙ СПИНОВОЙ СИСТЕМЫ ЭЛЕКТРОНОВ И ЯДЕР В ПОЛУПРОВОДНИКАХ ПРИ УСЛОВИЯХ ОПТИЧЕСКОЙ ОРИЕНТАЦИИ

*Л.А.Бакалейников, Е.В.Галактионов*

Физико-технический институт им. А.Ф. Иоффе РАН,  
194021, Санкт-Петербург, Россия  
(Поступило в Редакцию 19 января 1994 г.)

## Введение

Изучение динамики связанной спиновой системы электронов и ядер в полупроводниках при условиях оптической ориентации вызывает большой интерес в связи с экспериментальным обнаружением режимов как регулярного, так и стохастического поведения [1]. Математическое описание этой системы было предложено в работах [1-3], а в работе [4] проведено детальное изучение ее стационарных состояний. Особый интерес при рассмотрении систем уравнений, моделирующих эволюцию спиновой электронно-ядерной системы, представляет поиск областей параметров, в которых реализуется нерегулярное поведение. Поскольку одной из возможных причин возникновения хаотического поведения траекторий является наличие гомоклинических орбит, то поиск параметров, при которых реализуется гомоклиническое движение, представляется актуальной задачей в исследовании динамики системы.

Доказательство существования гомоклинического движения для той или иной конкретной системы представляет собой непростую задачу. В редких случаях удается выявить наличие гомоклинической орбиты чисто аналитическим путем, что связано со сложностью анализа глобального поведения траекторий системы. Успех в такого рода ситуациях обычно связан с некоторой симметрией системы или с существованием интегралов, вследствие чего применяемые приемы не носят универсального характера. Мощным универсальным средством исследования глобального поведения траекторий является отображение Пуанкаре. Однако его можно использовать лишь в системах с

небольшим числом параметров, поэтому задача поиска их значений, реализующих гомоклиническое движение в многопараметрических системах, требует другого подхода.

В настоящей работе предложен численно-аналитический алгоритм отыскания параметров системы, обеспечивающих наличие гомоклинических траекторий. Этот алгоритм состоит из двух этапов. Первый из них позволяет определить некоторую область в пространстве параметров, в которой поиск гомоклинической орбиты целесообразен. На втором этапе существование набора параметров, реализующего гомоклиническое движение, доказывается с помощью численного анализа отображения Пуанкаре.

### Общие соображения, относящиеся к отысканию гомоклинических траекторий

Уравнения, описывающие динамику связанной спиновой системы электронов и ядер при условиях оптической ориентации в полупроводниках, были предложены в [2,3] и имеют вид

$$\frac{d\mathbf{H}}{d\tau} = \mathbf{h} - \mathbf{H} + \hat{a}s, \quad 0 = \mathbf{k} - s + \mathbf{H}/s. \quad (1)$$

Здесь  $s = s(\tau)$  — средний спин ориентированных электронов;  $\mathbf{H} = \mathbf{H}(\tau)$  — полное поле, действующее на электронные спины, т.е. сумма постоянного внешнего магнитного поля  $h$  и эффективного ядерного поля;  $\mathbf{k}$  — единичный вектор начальной ориентации спина;  $\hat{a} = \{a_{ij}\}_{ij=1}^3$  — вещественная  $3 \times 3$  матрица, описывающая поляризацию ядер ориентированными электронами.

В систему (1) входит 14 независимых параметров, и поиск набора, обеспечивающего существование гомоклинической орбиты, представляет большие трудности. Поэтому в дальнейшем ограничимся изучением только таких сценариев возникновения гомоклинических траекторий, при которых они появляются в процессе бифуркации стационарных состояний. Ситуация, при которой возможно образование гомоклинической орбиты, описывается следующим образом. Пусть в результате бифуркации из одной точки покоя  $\mathbf{H}^*$  возникают два стационарных состояния  $\mathbf{H}_1, \mathbf{H}_2$ . Как будет показано ниже, общие свойства системы (1) гарантируют, что матрица Якоби правой части имеет собственное значение  $\lambda = -1$  в каждой точке покоя. Будем считать, что собственные числа, отличные от  $\lambda = -1$ , в  $\mathbf{H}_1$  являются вещественными с разными знаками, а в  $\mathbf{H}_2$  — комплексно-сопряженными. Присутствие собственного числа  $\lambda = -1$  приводит к тому, что проекция точек траектории на соответствующее собственное направление при движении в окрестности точки покоя экспоненциально убывает. Поэтому движение в окрестности  $\mathbf{H}_2$  напоминает движение в окрестности фокуса и траектория, выпущенная из  $\mathbf{H}_1$  по неустойчивому направлению, может, “обернувшись” вокруг  $\mathbf{H}_2$ , возвратиться к  $\mathbf{H}_1$  (рис. 1). Изменение вещественной части собственных значений в  $\mathbf{H}_2$  приводит к большему или меньшему закручиванию этой траектории вокруг  $\mathbf{H}_2$ , что в свою очередь может привести к пересечению ее с устойчивым многообразием точки  $\mathbf{H}_1$ , т.е. к возникновению гомоклинической орбиты.

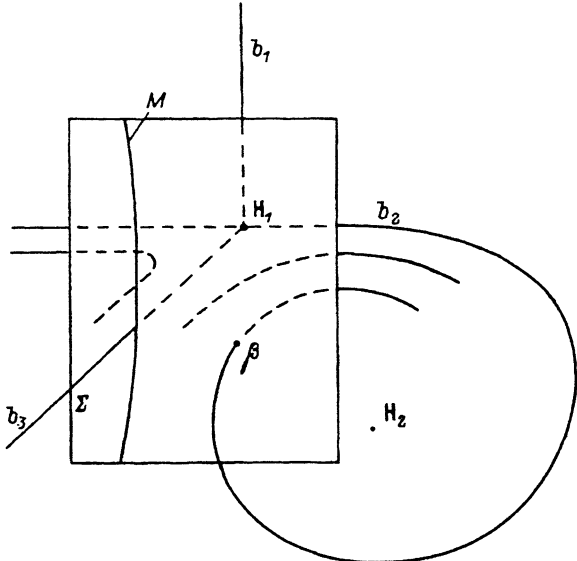


Рис. 1. Поведение траекторий в окрестности "седла" и "фокуса".

Таким образом, один из возможных путей нахождения значений параметров, обеспечивающих наличие гомоклинической траектории, заключается в поиске бифуркации возникновения трехмерного "седла" и трехмерного "фокуса", устойчивость которого зависит от параметров системы.

Для реализации этой идеи рассмотрим прежде всего уравнения, определяющие положение и тип точек покоя. Как было показано в [4], отыскание стационарных состояний (1) сводится к нахождению корней полинома пятой степени относительно компоненты  $s_3$  электронного спина.

$$P(s_3) = \left[ \Delta^2(s_3) \cdot (s_3^2 - k_3 s_3) + (b_1^2(s_3) + b_2^2(s_3)) - (b_1(s_3)k_1 + b_2(s_3)k_2) \cdot \Delta(s_3) \right] / s_3. \quad (2)$$

Здесь

$$\Delta(s_3) = A_{33}s_3^2 + (a'_{12} - a'_{21} - (a'_{11} + a'_{22})h_3)s_3 + 1 + h_3^2, \quad (3)$$

$$b_1(s_3) = A_{31}s_3^3 + (a'_{23} - a'_{22}h_1 + a'_{12}h_2 + a'_{13}h_3) \cdot s_3^2 + (a'_{12}k_1 + a'_{22}k_2 + h_2 + h_1h_3) \cdot s_3 + k_1 - k_2h_3, \quad (4)$$

$$b_2(s_3) = A_{32}s_3^3 + (-a'_{13} + a'_{21}h_1 - a'_{11}h_2 + a'_{23}h_3) \cdot s_3^2 + (-a'_{11}k_1 - a'_{21}k_2 - h_1 + h_2h_3) \cdot s_3 + k_2 + k_1h_3, \quad (5)$$

$$A_{31} = a'_{12}a'_{23} - a'_{22}a'_{13}, \quad (6)$$

$$A_{32} = a'_{13}a'_{21} - a'_{11}a'_{23}, \quad (7)$$

$$A_{33} = a'_{11}a'_{22} - a'_{12}a'_{21}. \quad (8)$$

Элементы матрицы  $\hat{a}$  связаны с элементами  $\hat{a}$  соотношением  $a'_{ij} = a_{ij} - a_{33}\delta_{ij}$ ;  $i, j = 1, 2, 3$ . В дальнейшем будем считать, что элементы  $a_{31}, a_{32}$  матрицы  $\hat{a}$  равны нулю. Как показано в [5], этого всегда можно добиться с помощью выбора ортогонального базиса в исходной системе (1).

При известном  $s_3$  компоненты  $s_1, s_2$  определяются из соотношений

$$s_i = b_i(s_3)/\Delta(s_3); \quad i = 1, 2 \quad (9)$$

в предположении, что  $\Delta(s_3) \neq 0$ .

Стационарные значения  $s_1, s_2, s_3$  электронного спина позволяют определить полное поле  $\mathbf{H}(\mathbf{s})$  в точках покоя системы (1)

$$\mathbf{H} = \mathbf{h} + \hat{a}\mathbf{s}. \quad (10)$$

Выясним теперь, какие требования необходимо наложить на параметры системы для реализации бифуркации точки покоя в “седло” и “фокус”. Запишем систему (1) в окрестности точки бифуркации в виде

$$\frac{d\mathbf{H}(\boldsymbol{\tau}, \varepsilon)}{d\boldsymbol{\tau}} = \mathbf{h}(\varepsilon) - \mathbf{H} + \hat{a}(\varepsilon) \cdot \mathbf{s}(\mathbf{H}, \varepsilon) = \mathbf{F}(\mathbf{H}, \varepsilon). \quad (11)$$

Здесь  $\varepsilon \geq 0$  — бифуркационный параметр. При  $\varepsilon = 0$  точка покоя  $\mathbf{H}^* = \mathbf{H}(\boldsymbol{\tau}, 0) = \text{const}$  системы (11) должна быть вырождена, т.е. полином  $P(s_3)$  должен иметь кратный корень

$$P(s_3^*) = 0, \quad (12)$$

$$P'(s_3^*) = 0, \quad (13)$$

где  $\mathbf{s}^* = \mathbf{s}(\mathbf{H}, 0)$ .

Тот факт, что при  $\varepsilon > 0$  вырожденная точка покоя распадается на “седло” ( $\mathbf{H}_1$ ) и “фокус” ( $\mathbf{H}_2$ ), приводит к дополнительным ограничениям на параметры системы. Чтобы сформулировать необходимые для осуществления такой бифуркации условия, рассмотрим якобиан правых частей (11). Докажем прежде всего, что матрица  $\partial\mathbf{F}/\partial\mathbf{H}$  имеет собственное значение  $\lambda_1 = -1$  в каждой точке покоя. Используя алгебраическую связь, задаваемую вторым уравнением системы (1), найдем

$$\mathbf{s} = \frac{1}{H^2 + 1}(\mathbf{k} + \mathbf{H}(\mathbf{k} \cdot \mathbf{H}) + \mathbf{H} \times \mathbf{k}). \quad (14)$$

В то же время вектор  $\mathbf{H}$  представляет собой неоднозначную функцию  $\mathbf{s}$  и, следовательно,  $\det(\partial\mathbf{s}/\partial\mathbf{H}') = 0$ . При этом характеристическое уравнение

$$\det\left(\frac{\partial\mathbf{E}}{\partial\mathbf{H}} - \lambda I\right) = \det\left(\hat{a}(\varepsilon)\frac{\partial\mathbf{s}}{\partial\mathbf{H}} - (\lambda + 1)I\right) = 0$$

в каждой точке покоя  $\mathbf{H}_i$ ,  $i = 1, 2$  имеет  $\lambda = -1$  своим корнем и может быть записано в виде

$$(\lambda + 1)(\lambda^2 + a^i(\varepsilon)\lambda + b^i(\varepsilon)) = 0,$$

$$a^i(\varepsilon) = a_0 + \delta_i(\varepsilon), \quad b^i(\varepsilon) = b_0 = \gamma_i(\varepsilon), \quad i = 1, 2. \quad (15)$$

В процессе бифуркации число точек покоя изменяется, поэтому<sup>1</sup>

$$\det \left( \frac{\partial \mathbf{F}}{\partial \mathbf{H}} \Big|_{\mathbf{H}=\mathbf{H}^*} \right) = 0. \quad (16)$$

Соотношение (16) означает, что матрица  $\partial \mathbf{F} / \partial \mathbf{H} \Big|_{\mathbf{H}=\mathbf{H}^*}$  имеет по крайней мере одно нулевое собственное число и, следовательно,

$$b_0 = 0. \quad (17)$$

Покажем, что необходимым условием существования “седла” и “фокуса” при  $\varepsilon > 0$  является требование

$$a_0 = 0. \quad (18)$$

Действительно, отличные от  $\lambda_1 = -1$  корни характеристического уравнения имеют вид

$$\lambda_{2,3}^i = -\frac{a^i(\varepsilon)}{2} \pm \sqrt{\left( \frac{a^i(\varepsilon)}{2} \right)^2 - b^i(\varepsilon)}. \quad (19)$$

Пусть  $a_0 \neq 0$ . Тогда

$$\lambda_{2,3}^i = -\frac{a_0}{2} \pm \frac{a_0}{2} \cdot \left( 1 + 2 \frac{\delta_i(\varepsilon)}{a_0} + \frac{\delta_i^2(\varepsilon)}{a_0^2} - \frac{4\gamma_i(\varepsilon)}{a_0^2} \right)^{1/2} - \frac{1}{2} \delta_i(\varepsilon), \quad (20)$$

и при малых значениях бифуркационного параметра собственные значения в обеих точках покоя оказываются вещественными.

Таким образом, необходимыми условиями появления бифуркации с желаемыми свойствами являются равенства (12), (13), (17), (18).

### Отыскание параметров системы, обеспечивающих существование бифуркации

Как следует из (1), полное число независимых параметров системы равно 14. В работе [4] показано, что путем выбора соответствующего базиса трехмерного пространства, в котором решается исходная система, число параметров можно уменьшить до 12. Для облегчения дальнейших выкладок положим

$$k_1 = k_2 = 0, \quad \Rightarrow \mathbf{k}_3 = 1; \quad h_1 = h_2 = 0, \quad (21)$$

$$A_{31} = A_{32} = A_{33} = 0. \quad (22)$$

Учитывая (21), (22), найдем

$$b_1(s_3) = s_3^2 \cdot (a'_{23} + a'_{13} \cdot h_3), \quad (23)$$

<sup>1</sup> Равенство (16) должно выполняться, поскольку в противном случае по теореме о неявной функции в окрестности критического значения бифуркационного параметра можно было бы найти лишь один корень соотношения  $\mathbf{F}(\mathbf{H}, \varepsilon) = 0$ , определяющего точки покоя системы (11).

$$b_2(s_3) = s_3^2 \cdot (-a'_{13} + a'_{23} \cdot h_3), \quad (24)$$

$$\Delta(s_3) = (a'_{12} - a'_{21} - (a'_{11} + a'_{22}) \cdot h_3) \cdot s_3 + 1 + h_3^2, \quad (25)$$

$$P(s_3) = [(a'_{12} - a'_{21} - (a'_{11} + a'_{22}) \cdot h_3) \cdot s_3 + 1 + h_3^2]^2 \times \\ \times (s_3 - 1) + s_3^3 \cdot (a'_{23} + a'_{13} h_3)^2 + s_3^3 \cdot (-a'_{13} + a'_{23} h_3)^2, \quad (26)$$

$$P'(s_3) = \Delta^2(s_3) = 2(s_3 - 1) \cdot \Delta(s_3) \cdot (a'_{12} - a'_{21} - (a'_{11} + a'_{22}) \cdot h_3) + \\ + 3s_3^2 \cdot ((a'_{23} + a'_{13} h_3)^2 + (-a'_{13} + a'_{23} h_3)^2). \quad (27)$$

Зададим значение компоненты  $s_3$  в точке бифуркации

$$s_3^* = 0.5. \quad (28)$$

Тогда условия (12), (13) примут вид

$$\Delta^2(0.5) = 0.25 \cdot ((a'_{23})^2 + (a'_{13})^2) \cdot (1 + h_3^2), \quad (29)$$

$$\Delta^2(0.5) - \Delta(0.5) \cdot (a'_{12} - a'_{21} - (a'_{11} + a'_{22}) \cdot h_3) = \\ = -0.75 \cdot ((a'_{23})^2 + (a'_{13})^2) \cdot (1 + h_3^2). \quad (30)$$

Если хотя бы один из коэффициентов  $a'_{13}$ ,  $a'_{23}$  отличен от нуля, то, согласно (29),  $\Delta(0.5) \neq 0$  и стационарное состояние является нормальным [4]. Подставляя (29) в (30) и используя (25), получим

$$-(a'_{12} - a'_{21} - (a'_{11} + a'_{22}) \cdot h_3) = 4 \cdot (h_3^2), \quad (31)$$

откуда

$$\Delta(0.5) = -(1 + h_3^2). \quad (32)$$

С учетом этого соотношения равенство (29) дает

$$1 + h_3^2 = 0.25 \cdot ((a'_{23})^2 + (a'_{13})^2). \quad (33)$$

Условия (17), (18) накладывают дополнительные связи на параметры системы. Для их определения необходимо вычислить производные  $\partial s_i / \partial H_j$ ,  $i, j = 1, 2, 3$  и построить характеристическое уравнение. Можно показать, что коэффициенты характеристического уравнения (15) задаются соотношениями

$$a^i(\varepsilon) = -Sp \left( \hat{a} \cdot \frac{\partial \mathbf{s}}{\partial \mathbf{H}} \Big|_{\mathbf{H}=\mathbf{H}_i} - I \right) - 1, \quad i = 1, 2, \quad (34)$$

$$b^i(\varepsilon) = -\det \left( \hat{a} \cdot \frac{\partial \mathbf{s}}{\partial \mathbf{H}} \Big|_{\mathbf{H}=\mathbf{H}_i} - I \right), \quad i = 1, 2. \quad (35)$$

С учетом равенств (21) зависимость (14)  $\mathbf{s}(\mathbf{H})$  принимает вид

$$s_1 = \frac{H_3 \cdot H_1 + H_2}{H^2 + 1}, \quad s_2 = \frac{H_3 \cdot H_2 - H_1}{H^2 + 1}, \quad s_3 = \frac{H_3^2 + 1}{H^2 + 1}, \quad (36)$$

что приводит к

$$\frac{\partial \mathbf{s}}{\partial \mathbf{H}} = (\mathbf{G}_1; \mathbf{G}_2; \mathbf{G}_3), \quad \mathbf{G}_i = -\frac{2H_i}{H^2 + 1} \mathbf{s} + \frac{1}{H^2 + 1} \mathbf{L}_i, \quad i = 1, 2, 3,$$

$$\mathbf{L}_1 = \begin{pmatrix} H_3 \\ -1 \\ 0 \end{pmatrix}, \quad \mathbf{L}_2 = \begin{pmatrix} 1 \\ H_3 \\ 0 \end{pmatrix}, \quad \mathbf{L}_3 = \begin{pmatrix} H_1 \\ H_2 \\ 2H_3 \end{pmatrix}. \quad (37)$$

Поскольку в точке покоя имеет место соотношение  $\hat{a}s = \mathbf{H} - \mathbf{h}$ , то

$$\hat{a} \cdot \frac{\partial s}{\partial \mathbf{H}} \Big|_{\mathbf{H}=\mathbf{H}^*} = (\mathbf{P}_1; \mathbf{P}_2; \mathbf{P}_3),$$

$$\mathbf{P}_i = -\frac{2H_i}{H^2 + 1}(\mathbf{H} - \mathbf{h}) + \frac{1}{H^2 + 1} \hat{a} \cdot \mathbf{L}_i \Big|_{\mathbf{H}=\mathbf{H}^*}, \quad i = 1, 2, 3. \quad (38)$$

Это дает

$$\hat{a} \cdot \frac{\partial s}{\partial \mathbf{H}} - I = \begin{pmatrix} Q_{11} & Q_{12} & Q_{13} \\ Q_{21} & Q_{22} & Q_{23} \\ Q_{31} & Q_{32} & Q_{33} \end{pmatrix},$$

$$Q_{11} = -1 + \frac{-2H_1^2 + a_{11}H_3 - a_{12}}{H^2 + 1}; \quad Q_{12} = \frac{-2H_1H_2 + a_{12}H_3 + a_{11}}{H^2 + 1};$$

$$Q_{13} = \frac{-2H_1H_3 + a_{11}H_1 + a_{12}H_2 + 2a_{13}H_3}{H^2 + 1};$$

$$Q_{21} = \frac{-2H_1H_2 + a_{21}H_3 - a_{22}}{H^2 + 1}; \quad Q_{22} = -1 + \frac{-2H_2^2 + a_{22}H_3 + a_{21}}{H^2 + 1};$$

$$Q_{23} = \frac{-2H_2H_3 + a_{21}H_1 + a_{22}H_2 + 2a_{23}H_3}{H^2 + 1};$$

$$Q_{31} = \frac{-2H_1(H_3 - h_3)}{H^2 + 1}; \quad Q_{32} = \frac{-2H_2(H_3 - h_3)}{H^2 + 1};$$

$$Q_{33} = -1 + \frac{-2H_3(H_3 - h_3) + 2a_{33}H_3}{H^2 + 1}. \quad (39)$$

Для выбора параметров системы, обеспечивающих необходимую бифуркацию, удобно задавать величины  $a'_{13}$ ,  $a'_{11}$ , и  $\alpha = a'_{23}/a'_{13}$ . Из равенств (22), (33) найдем

$$a'_{21} = \alpha \cdot a'_{11}, \quad h_3^2 = 0.25 \cdot (1 + \alpha^2) \cdot (a'_{13})^2 - 1. \quad (40)$$

Из условия  $A_{31} = 0$  следует

$$a'_{22} = a'_{12}\alpha. \quad (41)$$

Соотношение (31) позволяет вычислить  $a'_{12}$

$$a'_{12} = (a'_{11} \cdot (h_3 + \alpha) - 4(1 + h_3^2)) / (1 - \alpha h_3). \quad (42)$$

Используя выражения (23)–(25), можно определить

$$b_1(0.5) = 0.25 \cdot (h_3 + \alpha) \cdot a'_{13}, \quad (43)$$

$$b_2(0.5) = 0.25 \cdot (h_3\alpha - 1) \cdot a'_{13}, \quad (44)$$

$$\Delta(0.5) = -0.25 \cdot (1 + \alpha^2) \cdot (a'_{13})^2, \quad (45)$$

что в свою очередь позволяет найти  $s_1^*$ ,  $s_2^*$  по формулам (9)

$$s_1^* = -0.25 \frac{\alpha + h_3}{1 + h_3^2} a'_{13}, \quad s_2^* = -0.25 \frac{1 - \alpha h_3}{1 + h_3^2} a'_{13}. \quad (46)$$

Используя (36) и равенство

$$H_3^* = h_3 + a_{33} s_3^*, \quad (47)$$

можно найти компоненты  $H_1^*$ ,  $H_2^*$ :

$$\begin{aligned} H_1^* &= (H_3^* s_1^* - s_2^*) / s_3^* = (h_3 s_1^* - s_2^*) / s_3^* + a_{33} s_1^* = \\ &= -0.5 a'_{13} + a_{33} s_1^*, \end{aligned} \quad (48)$$

$$\begin{aligned} H_2^* &= (H_3^* s_2^* + s_1^*) / s_3^* = (h_3 s_2^* + s_1^*) / s_3^* + a_{33} s_2^* = \\ &= -0.5 a'_{13} \cdot \alpha + a_{33} s_2^*. \end{aligned} \quad (49)$$

Величину  $a_{33}$  необходимо выбрать так, чтобы выполнялось соотношение (18). Уравнение, определяющее  $a_{33}$ , легко получить, подставляя (47)–(49) в (39) и используя (34). Это дает

$$\begin{aligned} &4((s_1^*)^2 + (s_2^*)^2 + (s_3^*)^2 - s_3^*) a_{33}^2 - (4a'_{13}(s_1^* + \alpha s_2^*) + \\ &+ (a'_{11} + a'_{22} - 6h_3) s_3^* + 4h_3) a_{33} + (a'_{13})^2 (1 + \alpha^2) + a'_{12} - \\ &- a'_{21} - h_3(a'_{11} + a'_{22}) + 6h_3^2 + 2 = 0. \end{aligned} \quad (50)$$

Выберем

$$a'_{11} = 8, \quad a'_{13} = 2, \quad \alpha = 2. \quad (51)$$

При этом имеем

$$\begin{aligned} a'_{12} &= -4, \quad a'_{21} = 16, \quad a'_{22} = -8, \quad a'_{23} = 4, \\ h_3 &= 2, \quad s_1^* = -0.4, \quad s_2^* = -0.3, \\ a_{33} &= -\frac{5}{3}, \quad H_1^* = -\frac{1}{3}, \quad H_2^* = -\frac{3}{2}, \quad H_3^* = \frac{7}{6}. \end{aligned} \quad (52)$$

Найденный набор значений параметров системы, как и следовало ожидать, удовлетворяет соотношению (17) (см. сноску <sup>1</sup>).

Таким образом, система (1) с параметрами

$$\hat{a} = \begin{pmatrix} \frac{19}{3} & -4 & 2 \\ 16 & -\frac{29}{3} & 4 \\ 0 & 0 & -\frac{5}{3} \end{pmatrix}, \quad \mathbf{h} = \begin{pmatrix} 0 \\ 0 \\ 2 \end{pmatrix}, \quad \mathbf{k} = \begin{pmatrix} 0 \\ 0 \\ 1 \end{pmatrix} \quad (53)$$

обладает сложным положением равновесия с двумя нулевыми собственными числами. Отметим, что значения (53) являются далеко не единственными значениями  $\hat{a}$ ,  $\mathbf{h}$ ,  $\mathbf{k}$ , при которых система имеет вырожденную точку покоя с требуемыми свойствами. При отыскании (53) произвольным образом фиксировались величины  $k_1$ ,  $k_2$ ,  $h_1$ ,  $h_2$ ,  $s_3^*$ ,  $a'_{11}$ ,  $a'_{13}$ ,  $\alpha = a'_{23}/a'_{13}$ . Однако, поскольку целью настоящей работы является выяснение вопроса о возможности существования гомоклинического движения в системе (1), указание хотя бы одного набора параметров оказывается достаточным.



## Определение возмущения, приводящего к появлению гомоклинической траектории

Перейдем теперь к отысканию возмущения параметров системы, обеспечивающего появление двух точек покоя, в одной из которых все собственные числа вещественны, а в другой два из них имеют ненулевую мнимую часть. Для упрощения дальнейших выкладок будем варьировать лишь параметры матрицы  $\hat{a}$  и компоненту  $h_3$  вектора  $\mathbf{h}$

$$\hat{a} = \hat{a}^0 + \varepsilon \hat{c}, \quad h_3 = h_3^0 + \varepsilon d. \quad (54)$$

Найдем прежде всего новые положения точек покоя. Запишем третью компоненту вектора  $\mathbf{s}$  в возмущенных точках покоя в виде

$$s_3(\varepsilon) = s_3^* + x(\varepsilon). \quad (55)$$

Величина  $x(\varepsilon)$  определится из соотношения (2), где в качестве параметров системы использованы возмущенные значения (54). Подстановка (54) в (3)–(5) позволяет найти разложения  $b_1(s_3^* + x, \varepsilon)$ ,  $b_2(s_3^* + x, \varepsilon)$ ,  $\Delta(s_3^* + x, \varepsilon)$  по  $x$ ,  $\varepsilon$ . При этом (2) принимает вид

$$\begin{aligned} \varepsilon(-18c_{11} + 3c_{22} - \frac{27}{2}c_{12} + 4c_{21} + \frac{45}{2}c_{13} - 5c_{23} + 30d) + \\ + 150x^2 + O(\varepsilon^2) + O(\varepsilon x) + O(x^3) = 0, \end{aligned} \quad (56)$$

откуда

$$x = \pm D\sqrt{\varepsilon},$$

$$D = ((18c_{11} - 3c_{22} + \frac{27}{2}c_{12} - 4c_{21} - \frac{45}{2}c_{13} + 5c_{23} - 30d)/150)^{0.5}, \quad (57)$$

$$s_3^{1,2} = s_3^* \pm D\sqrt{\varepsilon}. \quad (58)$$

Остальные компоненты векторов  $\mathbf{s}$  в точках покоя легко найти, используя формулы (9) и разложения  $b_1(s_3^* + x, \varepsilon)$ ,  $b_2(s_3^* + x, \varepsilon)$ ,  $\Delta(s_3^* + x, \varepsilon)$ ,

$$s_1^{1,2} = -0.4 + O(\varepsilon), \quad s_2^{1,2} = -0.3 + O(\varepsilon). \quad (59)$$

Формула (10) позволяет определить значения вектора  $\mathbf{H}$

$$\mathbf{H}^{1,2} = \begin{pmatrix} -1/3 \pm 2D\sqrt{\varepsilon} + O(\varepsilon) \\ -1.5 \pm 4D\sqrt{\varepsilon} + O(\varepsilon) \\ 7/6 \mp \frac{5}{3}D\sqrt{\varepsilon} + O(\varepsilon) \end{pmatrix}. \quad (60)$$

Коэффициенты  $a^i(\varepsilon)$ ;  $i = 1, 2$  в уравнении (15) находятся по формуле (34)

$$a^i(\varepsilon) = \mp \frac{1320}{85} D\sqrt{\varepsilon}; \quad i = 1, 2. \quad (61)$$

Как видно из выражения (57), знак  $D$  не может быть изменен при варьировании параметров  $c_{ij}$ ,  $d$ . Это означает, что управлять устойчивостью “фокуса”, даже если он появится в возмущенной системе, не удастся. Действительно, если предположить, что собственные числа

$\lambda_2, \lambda_3$  в одной из точек покоя являются комплексно-сопряженными, то, согласно (19),  $\text{Re}\lambda_2 = \text{Re}\lambda_1 = -a^i(\varepsilon)/2$  и знак вещественной части собственных чисел остается постоянным при всех возможных комбинациях параметров возмущения (см. (61)). Отмеченное обстоятельство резко снижает шансы на возникновение гомоклинической орбиты в возмущенной системе.

Причина создавшейся ситуации заключается в том, что возмущение векторов  $s$  и  $H$  имеет порядок  $O(\varepsilon^{1/2})$  при возмущении параметров системы величинами порядка  $O(\varepsilon)$ . При выравнивании порядков возмущения  $s, H$  и параметров системы коэффициенты  $a^i(\varepsilon)$  окажутся зависящими от  $c_{ij}, d$ , что приведет к возможности изменения знака вещественной части собственных чисел в "фокусе". Для того чтобы порядок возмущения величины  $s_3$  был  $O(\varepsilon)$ , необходимо потребовать равенства нулю коэффициента при  $\varepsilon$  в соотношении (56), что дает

$$-18c_{11} + 3c_{22} - \frac{27}{2}c_{12} + 4c_{21} + \frac{45}{2}c_{13} - 5c_{23} + 30d = 0. \quad (62)$$

При этом главными членами в (56) оказываются величины порядка  $O(\varepsilon^2), O(x^2)$ , которые необходимо удержать в разложении  $P(s_3)$  по  $x, \varepsilon$ . Подставляя разложения  $b_1(s_3^* + x, \varepsilon), b_2(s_3^* + x, \varepsilon), \Delta(s^* + x, \varepsilon)$  в (2) и удерживая в разложении  $P(s_3^* + x, \varepsilon)$  члены указанного порядка, найдем

$$\begin{aligned} P^{20}\varepsilon^2 + P^{11}\varepsilon x + P^{02}x^2 + O(\varepsilon^3) + O(x\varepsilon^2) + O(x^2\varepsilon) + O(x^3) &= 0, \\ P^{20} &= \frac{5}{4}(c_{11}c_{22} - c_{12}c_{21}) + (c_{12}c_{23} - c_{22}c_{13}) + \frac{3}{4}(c_{13}c_{21} - c_{11}c_{23}) + \\ &+ d \cdot \left[ \frac{3}{2}c_{23} + 2c_{13} - \frac{5}{2}(c_{11} + c_{22}) \right] + 5d^2 + \frac{1}{8} \left[ (2c_{12} - c_{23} + 6c_{13} - c_{22} + 2d)^2 + \right. \\ &\left. + (7c_{13} + c_{21} - 2c_{23} - 2c_{11} + 4d)^2 \right] - \frac{1}{2} \left( -3c_{11} + c_{22} - \frac{7}{2}c_{12} + \frac{1}{2}c_{21} + 4d \right)^2, \\ P^{11} &= -104c_{11} + 24c_{22} - 78c_{12} + 32c_{21} + 175c_{13} - 50c_{23} + 100d, \\ P^{02} &= 150. \end{aligned} \quad (63)$$

Из (63) следует, что

$$x_{1,2} = Q_{1,2}\varepsilon + O(\varepsilon), \quad (64)$$

причем  $Q_{1,2}$  являются корнями квадратного уравнения

$$P^{02}Q^2 + P^{11}Q + P^{20} = 0. \quad (65)$$

Вычисляя коэффициент  $a(\varepsilon)$  по формуле (34) с использованием (39), найдем

$$a(\varepsilon) = 4 - \frac{1}{1 + H^2} ((a_{11} + a_{22} + 2a_{33} + 2h_3)H_3 - a_{12} + a_{21} + 2), \quad (66)$$

или, поскольку  $(1 + H^2)^{-1} = s_3(1 + H_3^2)^{-1}$ ,

$$a(\varepsilon) = 4 - \frac{s_3}{1 + H_3^2}((a_{11} + a_{22} + 2a_{33} + 2h_3)H_3 - a_{12} + a_{21} + 2). \quad (67)$$

Чтобы упростить дальнейшие выкладки, будем считать, что  $c_{31} = c_{32} = c_{33} = 0$ . Тогда

$$H_3 = a_{33}^0 s_3 + h_3 \quad (68)$$

и  $a(\varepsilon)$  является функцией лишь компоненты  $s_3$  вектора  $s$ . Согласно (64),

$$s_3^{1,2} = 0.5 + Q_{1,2}\varepsilon + o(\varepsilon), \quad (69)$$

что дает

$$a^{1,2}(\varepsilon) = -\frac{18}{85}\varepsilon \left( \frac{170}{9} \left( 2Q_{1,2} - \frac{84}{85} \left( d - \frac{5}{3}Q_{1,2} \right) \right) - \frac{8}{3} \left( d - \frac{5}{3}Q_{1,2} \right) + \right. \\ \left. + \frac{7}{6}(c_{11} + c_{22} + 2d) - c_{12} + c_{21} \right) + o(\varepsilon). \quad (70)$$

Для упрощения анализа знака  $a^1(\varepsilon)$ ,  $a^2(\varepsilon)$  в разделившихся точках покоя положим  $d = 0$ ,  $Q_1 = 0$ . Условие  $Q_1 = 0$  приводит к требованию

$$P^{20} = 0. \quad (71)$$

Тогда

$$Q_2 = -\frac{1}{150}(-104c_{11} + 24c_{22} - 78c_{12} + 32c_{21} + 175c_{13} - 50c_{23}). \quad (72)$$

Отметим, что выполнение соотношения (62) обеспечивается при  $c_{11} = c_{12} = c_{13} = d = 0$  и

$$c_{23} = \frac{1}{5}(3c_{22} + 4c_{21}). \quad (73)$$

В этом случае соотношение (71) выполняется тождественно. При этих значениях параметров имеем

$$a^1(\varepsilon) = -\frac{18}{85}\varepsilon \left( \frac{7}{6}c_{22} + c_{21} \right), \quad (74)$$

$$a^2(\varepsilon) = -\frac{18}{85}\varepsilon \left( 4.1c_{22} + \frac{221}{45}c_{21} \right). \quad (75)$$

Из (74), (75) видно, что изменения знака  $a^i(\varepsilon)$  можно добиться, меняя знак линейной комбинации коэффициентов  $c_{21}$ ,  $c_{22}$ . Для получения требуемой бифуркации собственные числа в одной из точек покоя должны

быть комплексными, а в другой — вещественными. Это приводит к условиям на дискриминанты уравнений (15)

$$(a^1(\varepsilon))^2 - 4b^1(\varepsilon) < 0, \quad (a^2(\varepsilon))^2 - 4b^2(\varepsilon) > 0 \quad (76)$$

или

$$(a^1(\varepsilon))^2 - 4b^1(\varepsilon) > 0, \quad (a^2(\varepsilon))^2 - 4b^2(\varepsilon) < 0. \quad (77)$$

Численные расчеты показывают, что всем перечисленным условиям удовлетворяет набор параметров

$$c_{21} = -8.4, \quad c_{22} = 10, \quad \varepsilon = 0.01. \quad (78)$$

В этом случае система (1) имеет точки покоя, в одной из которых  $\lambda_1^1 = -1$ ,  $\lambda_2^1 = 0.058$ ,  $\lambda_3^1 = -0.052$ , а в другой  $-\lambda_1^2 = -1$ ,  $\lambda_2^2 = -3.02 \cdot 10^{-4} + i \cdot 5.52 \cdot 10^{-2}$ ,  $\lambda_3^2 = -3.02 \cdot 10^{-4} - i \cdot 5.52 \cdot 10^{-2}$ . При  $c_{21} = -8.5$ ,  $c_{22} = 10$  знак вещественной части  $\lambda_2^2$  и  $\lambda_3^2$  меняется, что приводит к изменению устойчивости фокуса.

Дальнейший поиск значений параметров, при которых возникает гомоклиническая орбита, проводился с помощью численных методов. Трехмерность исследуемой системы позволяет свести задачу к анализу поведения отображения Пуанкаре. Для определения этого отображения построим в окрестности "седла" плоскость  $\Sigma$ , параллельную собственным векторам  $b_1, b_2$ , отвечающим собственным значениям  $\lambda_1^1 = -1$ ,  $\lambda_2^1 > 0$  (рис. 1). Вычисляя точку пересечения  $\beta$  этой плоскости с неустойчивым многообразием и линию ее пересечения  $M$  с устойчивым многообразием "седла", надо пытаться определить наборы параметров, при которых  $\beta$  оказывается по разные стороны от кривой  $M$ . Соединив эти наборы в пространстве параметров непрерывной кривой, можно вследствие непрерывной зависимости решения от параметров системы гарантировать существование значений, при которых "след" неустойчивого многообразия попадает на образ устойчивого многообразия. Это и означает возникновение в системе гомоклинической орбиты.

В программе вычисления траекторий расчет был организован следующим образом.

1. Для заданных значений параметров определялись корни полинома  $P(s_3)$  и отыскивались векторы  $s, \bar{N}$ , соответствующие точкам покоя.

2. Вычислялись собственные значения и собственные векторы матрицы Якоби в этих точках.

3. Методом Рунге-Кутты рассчитывались траектории системы, определялись точка  $\beta$  и кривая  $M$  на плоскости  $\Sigma$ .

Вообще говоря, расчет линии пересечения  $M$  плоскости  $\Sigma$  с устойчивым многообразием "седла" можно провести, меняя направление времени в системе (1) и выпуская траектории по векторам, представляющим собой линейную комбинацию собственных векторов  $b_1$  и  $b_3$ . Однако вследствие большого различия собственных значений  $\lambda_1^1, \lambda_3^1$  такой подход оказывается нерациональным. Более удобной является следующая процедура. На плоскости  $\Sigma$  строится сетка, из узлов которой выпускаются траектории. Анализ поведения проекции точек этих

траекторий на направлении  $b_2$  позволяет определить местоположение  $M$  относительно узлов.

Расчеты показали, что при

$$\varepsilon = 0.01, \quad c = \begin{pmatrix} 0. & 0. & 0. \\ -8.4 & 10. & -0.72 \\ 0. & 0. & 0. \end{pmatrix}, \quad d = 0 \quad (79)$$

и

$$\varepsilon = 0.01, \quad c = \begin{pmatrix} 0. & 0. & 0. \\ -8.5 & 10. & -0.8 \\ 0. & 0. & 0. \end{pmatrix}, \quad d = 0 \quad (80)$$

след  $\beta$  траектории, выпущенной по неустойчивому направлению из "седла", располагается по разные стороны от образа  $M$  устойчивого многообразия. Следовательно, найдется значение  $c_{21}^* \in [-8.5, -8.4]$  и соответствующее ему значение  $c_{23}^*$ , рассчитанное по формуле (73), такие, что система (1) с параметрами

$$\hat{a} = \begin{pmatrix} \frac{19}{3} & -4. & 2. \\ 16 + 0.01 \cdot c_{21}^* & -\frac{287}{30} & 4. + 0.01 \cdot c_{23}^* \\ 0 & -0 & -\frac{5}{3} \end{pmatrix},$$

$$h = \begin{pmatrix} 0 \\ 0 \\ 2. \end{pmatrix}, \quad k = \begin{pmatrix} 0 \\ 0 \\ 1. \end{pmatrix} \quad (81)$$

обладает гомоклинической орбитой.

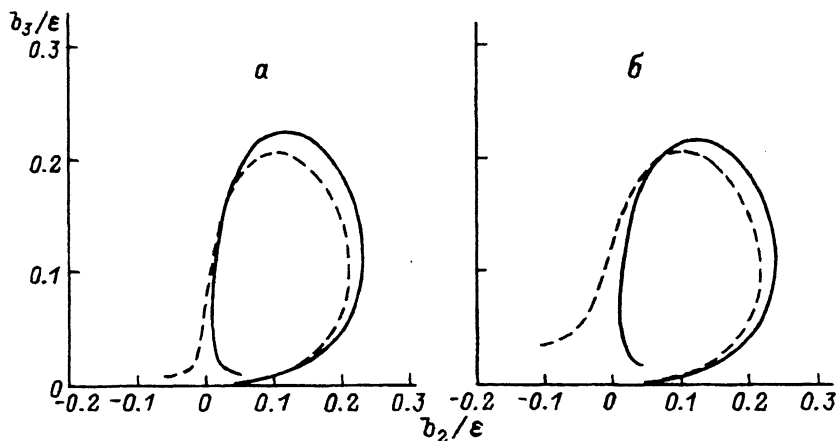


Рис. 2. Проекция траектории системы (1), выпущенной из "седла" по неустойчивому направлению, на плоскость собственных векторов  $b_2$ ,  $b_3$ , отвечающих собственным значениям  $\lambda_2^1$ ,  $\lambda_3^1$ .

$\varepsilon = 0.01$  (а),  $0.1$  (б); сплошные кривые —  $c_{21} = 8.4$ , штриховые —  $8.3$ .

На рис. 2, а приведена проекция траекторий системы (1) с параметрами (79), (78) на плоскость собственных векторов  $b_2, b_3$ , соответствующих собственным числам  $\lambda_2^1, \lambda_3^1$ . Увеличение параметра  $\varepsilon$  не изменяет характера качественного поведения траекторий системы, а приводит лишь к изменению диапазона  $c_{21}$ , в котором найдется значение, обеспечивающее наличие гомоклинической траектории. Эту ситуацию иллюстрирует рис. 2, б.

В заключение отметим, что предложенный численно-аналитический метод может быть использован для отыскания гомоклинических траекторий в произвольных трехмерных системах.

Авторы признательны А.С. Зильберглейту за постоянное внимание к работе и полезные обсуждения.

Работа выполнена при частичной поддержке Российского фонда фундаментальных исследований по проекту 93-02-2611.

#### Список литературы

- [1] *Оптическая ориентация* / Под ред. Б.П. Захарчени, Ф. Майера. Л.: Наука, 1989. С. 137–207.
- [2] Дьяконов М.И., Меркулов И.А., Перель В.И. // ЖЭТФ. 1979. Т. 76. Вып. 1. С. 314–324.
- [3] Дьяконов М.И., Меркулов И.А., Перель В.И. // ЖЭТФ. 1980. Т. 78. Вып. 1. С. 349–359.
- [4] Артемова Е.С., Галактионов Е.В., Зильберглейт А.С. Препринт ФТИ. № 1264. Л., 1988. 38 с.
- [5] Воеводин В.В., Кузнецов Ю.А. Матрицы и вычисления. М.: Наука, 1984. 320 с.

---